

Краткие сообщения

Кинетические свойства сверхпроводящего композита Ag–Bi2223

Б. А. Мерисов, Г. Я. Хаджай, М. А. Оболенский

Харьковский государственный университет, Украина, 310077, Харьков, пл. Свободы, 4
E-mail: boris.a.merisov@univer.kharkov.ua

Н. Т. Черпак

Институт радиофизики и электроники НАН Украины, Украина, 310085, Харьков, ул. Ак. Проскуры, 12

P. Haldar and D. Hazelton

Intermagnetics General Corporation, Latham, NY12110, USA

Статья поступила в редакцию 27 января 1999 г.

В сверхпроводящей (СП) двухфазной системе Ag–Bi2223 ($T_c \approx 107$ К, $\Delta T_c \approx 2$ К) производства Intermagnetics General Corporation (USA) исследованы теплопроводность $\lambda(T)$ в интервале 4,2–300 К и электросопротивление $\rho(T)$ в интервале T_c –300 К. Вдали от СП перехода $\lambda(T)$ и $\rho(T)$ имеют вид, типичный для серебра. При $T > 60$ К на фоне такой зависимости $\lambda(T)$ наблюдаются нерегулярные осцилляции теплопроводности. Термоциклирование не влияет на положение и размер осцилляций. При T_c обнаружен резкий минимум $\lambda(T)$, глубина которого значительно превышает оценочный вклад теплопроводности Bi2223 в теплопроводность системы.

В надпровідній (НП) двофазній системі Ag–Bi2223 ($T_c \approx 107$ К, $\Delta T_c \approx 2$ К) виробництва Intermagnetics General Corporation (USA) досліджено теплопровідність $\lambda(T)$ в інтервалі 4,2–300 К та електричний опір $\rho(T)$ в інтервалі T_c –300 К. Далеко від НП переходу $\lambda(T)$ і $\rho(T)$ мають вигляд, типовий для срібла. При $T > 60$ К на фоні такої залежності $\lambda(T)$ спостерігаються нерегулярні осциляції теплопровідності. Термічне циклювання не впливає на положення та розмір осциляцій. При T_c знайдено різкий мінімум $\lambda(T)$, глибина якого значно перевищує оціночний внесок теплопровідності Bi2223 в теплопровідність системи.

PACS: 74.72.Hs, 44.30.+v

Исследованы температурные зависимости теплопроводности λ и удельного электросопротивления ρ сверхпроводящего композиционного материала Ag–БТСП.

Материал представлял собой ленту сечением 3,68×0,206 мм производства фирмы Intermagnetics General Corporation (USA). Внутри серебряной оболочки находилась смесь порошкообразного серебра и высокотемпературного сверхпроводника Bi2223, объемные доли которых составляли соответственно 70 и 30%. Чистота исходного серебра была 99,95%; длина образца около 5 см; $\rho(T)$ измеряли четырехзондовым методом; $\lambda(T)$ — методом одноосного стационарного теплового потока. Потоки заряда и тепла направ-

лялись вдоль ленты. Места крепления термометров на образце при измерении $\lambda(T)$ использовали также для крепления потенциальных отводов при измерении $\rho(T)$, в связи с чем геометрические факторы в обоих случаях совпадали. Зависимость $\rho(T)$ измеряли в интервале от температуры сверхпроводящего перехода T_c до 300 К со средней погрешностью 0,5%; $\lambda(T)$ измеряли в интервале 4,2–300 К со средней погрешностью 2%. Температура T_c , определенная по положению максимума $d\rho/dT$, равна 107 К при ширине перехода около 2 К. Зависимость $\rho(T)$ композита является линейной функцией температуры в интервале 108–300 К; $\rho(300$ К) = $3,87 \cdot 10^{-8}$ Ом·м, что примерно в два ра-

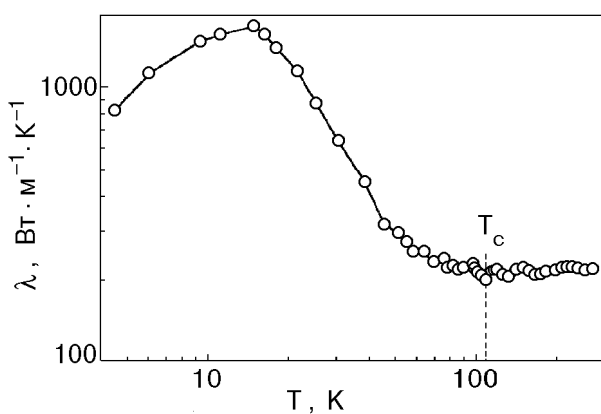


Рис. 1. Температурная зависимость теплопроводности композита Ag–Bi2223.

за превосходит литературные данные для чистого серебра [1].

Поведение $\lambda(T)$ композита в исследованном интервале температур типично для теплопроводности чистого серебра (рис. 1). Максимум теплопроводности расположен при 15 К, что совпадает с данными [2,3], но по абсолютной величине λ примерно вдвое ниже, чем в [2,3]. Выше 100 К теплопроводность композита слабо зависит от температуры и составляет примерно 210 Вт/(м·К). В этой области теплопроводность образцов серебра различной степени чистоты близка к 430 Вт/(м·К) (см., например, [4]), что примерно вдвое превышает наши данные. Таким образом, характерные величины $1/\rho$ и λ композита примерно вдвое меньше литературных, относящихся к чистому серебру. Полученные значения указывают на то, что на внешнюю серебряную оболочку в среднем приходится около половины площади поперечно-го сечения ленты. Остальное серебро находится в виде прослоек между частицами ВТСП.

Для обсуждения полученных результатов удобно использовать функцию Лоренца

$$L(T) = \lambda(T) \rho(T)/T. \quad (1)$$

На рис. 2 приведены значения $L(T)$ для серебра различной чистоты, рассчитанные по данным [1–4], и исследованного композита. Видно, что кривые $L(T)$ для серебра различной чистоты близки друг к другу и с повышением температуры стремятся к зоммерфельдовскому значению $L_0 = 2,45 \cdot 10^{-8}$ Вт·Ом/K², что типично для металлической проводимости при температурах выше дебаевской. Для композита $L(T) > L_0$ и растет с увеличением температуры. Это связано, вероятно, с дополнительным вкладом в $\rho(T)$ (1), обусловленным наличием двух компонентов, в частности с рассеянием на межфазных границах.

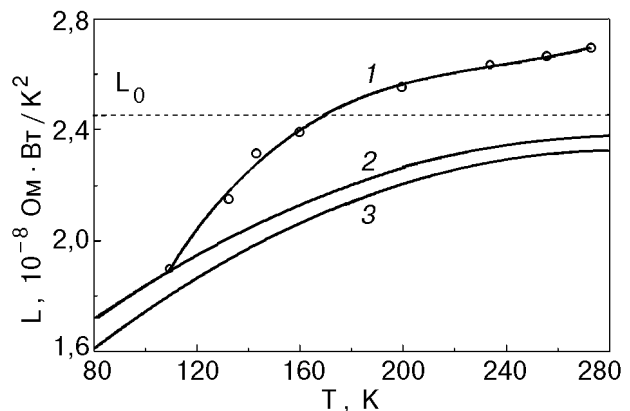


Рис. 2. Температурная зависимость функции Лоренца композита Ag–Bi2223 (1) и серебра различной чистоты [1,3] (2,3).

При низких температурах теплопроводность достаточно чистых металлов описывается формулой Вильсона [5]

$$T/\lambda(T) = \rho_0/L_0 + aT^3, \quad (2)$$

которая оказалась применимой и к исследованному композиту в интервале 4,2–46 К. В (2) ρ_0 — остаточное удельное электросопротивление композита, a — константа. Полученное из (2) значение ρ_0 равно $1,14 \cdot 10^{10}$ Ом·м. Таким образом, отношение $\rho(300 \text{ K})/\rho(4,2 \text{ K})$, характеризующее чистоту серебряной матрицы, близко к 300.

При $T > 60$ К на фоне типичной для чистых металлов в этой области температур зависимости $\lambda(T)$ наблюдаются нерегулярные осцилляции теплопроводности композита (рис. 3). Амплитуда осцилляций составляет около 10% значения теплопроводности в этой области температур, т.е. в несколько раз превышает характерные для ВТСП на основе висмута значения теплопроводности

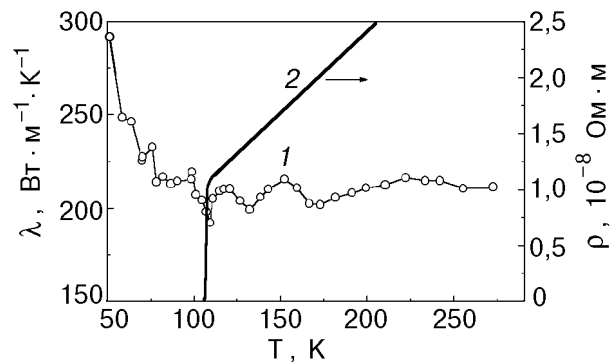


Рис. 3. Теплопроводность (1) и электросопротивление (2) композита Ag–Bi2223 в окрестности сверхпроводящего перехода.

(см., например, [6,7]). Многократное термоциклирование (от 4,2 К до 300 К) не влияет на полученные результаты.

Можно предположить, что такое поведение теплопроводности является проявлением эффекта андреевского отражения квазичастиц в мезоскопической системе контактов несверхпроводник–сверхпроводник в исследованной гетерофазной системе.

Наиболее глубокий и острый минимум теплопроводности совпадает по температуре с T_c . Такое уменьшение теплопроводности и электросопротивления свидетельствует о выключении сверхпроводящих электронов из процесса переноса тепла. Подобное поведение $\lambda(T)$ и $\rho(T)$ вблизи T_c мы наблюдали ранее [8].

Аналогичное поведение некоторых физических характеристик отмечалось в различных сверхпроводящих композитах, включая ВТСП. В [9,10] такое поведение теплоемкости, коэффициента линейного расширения и теплопроводности ВТСП на основе Y вблизи сверхпроводящего перехода авторы связали с неустойчивостью решетки вследствие миграции сверхстехиометрического кислорода. В сверхпроводящем композите Nb–Cu [11] такое поведение теплопроводности мы наблюдали при 50–60 К, что далеко от сверхпроводящего перехода ($T_c = 9,1$ К). Одновременно в этой области обнаружено уменьшение внутреннего трения и расщепление собственной частоты изгибных колебаний образца на три компонента при понижении температуры.

По-видимому, подобные структурные нестабильности характерны для пространственно неоднородных материалов, включая высокотемпературные сверхпроводники и композиты, и могут проявляться как вблизи, так и вдали от сверхпроводящего перехода.

Отметим, что тепловое расширение ВТСП на основе висмута обладает значительной анизотропией [12,13], а величина коэффициента теплового расширения примерно вдвое меньше, чем в серебре. По данным работ [12–15], можно весьма грубо оценить напряжения, возникающие в композиционном образце при охлаждении от 300 до 100 К. Такая оценка дает величину порядка 10^8 Па. Эти анизотропные напряжения могут стимулировать возникновение структурных нестабильностей в исследованном двухфазном композите, что также, вероятно, приводит к наблю-

даемому немонотонному поведению теплопроводности.

1. F. Pawlek and D. Hogalla, *Cryogenics* **6**, 14 (1966).
2. H. M. Rosenberg, *Philos. Trans. R. Soc. (London)* **A247**, 441 (1955).
3. G. K. White, *Proc. Phys. Soc. (London)* **A66**, 844 (1953).
4. C. Y. Ho, R. W. Powell, and P. E. Liley, *J. Phys. and Chem. Ref. Data*, **3**, suppl. No 1 (1974).
5. J. M. Ziman, *Electrons and Phonons*, Oxford Press (1960).
6. S. D. Peacor and C. Uher, *Phys. Rev.* **B39**, 11559 (1989).
7. M. F. Crommie and A. Zettl, *Phys. Rev.* **B41**, 10978 (1990); *Phys. Rev.* **B43**, 408 (1991).
8. Б. А. Мерисов, Г. Я. Хаджай, М. А. Оболенский, О. А. Гавренко, *ФНТ* **14**, 643 (1988).
9. Б. Я. Сухаревский, Е. О. Цыбульский, Н. Е. Письменова, А. М. Быков, Ф. А. Бойко, Г. Ю. Бочковая, Г. Е. Шаталова, *ФНТ* **14**, 1108 (1988).
10. Б. А. Мерисов, Г. Я. Хаджай, О. А. Гавренко, А. П. Воронов, *ФНТ* **16**, 389 (1990).
11. О. А. Гавренко, Б. А. Мерисов, Г. Я. Хаджай, *Металлофизика и новейшие технологии* **15**, 1215 (1996).
12. И. А. Господарев, А. П. Исакина, А. И. Прохватилов, Е. С. Сыркин, С. В. Феодосьев, *ФНТ* **16**, 673 (1990).
13. R. H. Arendt, M. F. Garbauskas, C. A. Meyer, F. J. Rotella, J. D. Jorgensen, and R. L. Hitterman, *Physica* **C182**, 73 (1991).
14. *Tables of Physical and Chemical Constants*, G. W. Kaye and T. H. Laby (eds.), Longmans, Green and Co. London, New York, Toronto (1962).
15. J. Dominec, C. Laermans, A. Vanelstraete, and V. Plechacek, *High- T_c Superconductor Materials*, H.-U. Habermeier, E. Kaldis, and J. Schoenes (eds.), *Symposia Proc.* **14A**, EMRS, North-Holland (1990), part A, p. 568.

Some kinetic properties of HTSC compound Ag–Bi2223

B. A. Merisov, G. Ya. Khadjai, M. A. Obolensky, N. T. Cherpak, P. Haldar, and D. Hazelton

The heat conductivity, $\lambda(T)$, in the range 4.2–300 K and the electrical resistivity, $\rho(T)$, in the range T_c –300 K were measured for the HTSC two phase system Ag–Bi2223 ($T_c \approx 107$ K, $\Delta T_c \approx 2$ K) produced by the Intermagnetics General Corporation (USA). Away from the SC transition $\lambda(T)$ and $\rho(T)$ are determined by silver. At $T > 60$ K irregular oscillations in the heat conductivity are observed on the background of the dependence $\lambda(T)$ typical of silver. The temperature cycling does not influence the position and the dimension of the oscillations. At T_c a sharp minimum of $\lambda(T)$ is observed. The depth of the minimum exceeds the estimated contribution of Bi2223 to the heat conductivity of the system.